

# تعیین نقش محیط رسوی و فرایندهای دیاژنزی در کیفیت مخزنی بخش بالایی سازند سورمه در میدان سلمان

ابراهیم سفیداری<sup>(۱)</sup>، عبدالحسین امینی<sup>(۲)</sup>، محمدرضا یوسفپور<sup>(۳)</sup> و سید محمد زمانزاده<sup>(۴)</sup>

۱. دانشجوی دکتری زمین‌شناسی، دانشکده زمین‌شناسی، پردیس علوم، دانشگاه تهران، ایران

۲. استاد گروه زمین‌شناسی، دانشکده زمین‌شناسی، پردیس علوم، دانشگاه تهران، ایران

۳. کارشناسی ارشد رسوی‌شناسی و سنگ‌شناسی رسوی شرکت نفت فلات قاره

۴. دانشیار گروه جغرافیا، دانشکده جغرافیا، دانشگاه تهران

تاریخ دریافت: ۹۶/۰۳/۲۷

تاریخ پذیرش: ۹۶/۰۶/۰۴

## چکیده

بخش بالایی سازند سورمه به سن ژوراسیک بالایی با لیتولوژی آهک، دولومیت و میان لایه‌های انیدریت معادل سازند عرب در بخش عربی خلیج فارس به حساب می‌آید. توالی ذکر شده بزرگ‌ترین سنگ مخزن سیستم ژوراسیک پلیت عربی را تشکیل می‌دهد. مطالعه حاضر بر اساس داده‌های مغزه (قطع نازک، تخلخل و تراوایی مغزه و فشار مؤئینه تزریق جیوه) و لاغهای چاه‌پیمایی به بررسی محیط رسوی، فرایندهای دیاژنزی و نقش آنها در کیفیت مخزنی بخش بالایی سازند سورمه پرداخته است. بر اساس مطالعات میکروسکوپی نه میکروفاسیس رسوی شناسایی شد. رخساره‌های شناسایی شده به بخش داخلی یک رمپ کربناته کم شیب، مشکل از زیرمحیط‌های سوپرتایdal، لagon و شول نسبت داده شده‌اند. فرایندهای دیاژنزی نقش متغیری بر کیفیت مخزنی سازند مورد مطالعه داشته‌اند. دولومیتی شدن، انحلال و شکستگی باعث افزایش کیفیت مخزنی شده‌اند، حال آنکه سیمانی شدن، دولومیتی شدن بیش از اندازه، انیدریتی شدن و فشردگی باعث کاهش کیفیت مخزنی شده‌اند. بر اساس داده‌های تخلخل، تراوایی و فشار مؤئینه حاصل از تزریق جیوه، رخساره‌های انیدریتی و مادستون حاوی اندیزیت مربوط به بخش پرتایdal، دارای پایین‌ترین کیفیت مخزنی می‌باشند و در مقابل رخساره‌های گرینستون ائیدی و پکستون تا گرینستون بایوکلاستی مربوط به زیرمحیط شول از بهترین کیفیت مخزنی برخوردار می‌باشند.

واژه‌های کلیدی: ژوراسیک بالایی، سورمه بالایی، سازند عرب، کیفیت مخزنی.

## مقدمه

سعودی (میادین قوار، خوریس و قطیف)، قطر (میادین بولحنین، ام شرجی) و امارات متحده عربی (میادین ام شیف و ابوالبوخوش) را تشکیل می‌دهد. بایواستراتیگرافی سازند عرب توسط هاگس (Hughes, 1996) در عربستان سعودی، السیلود و همکاران (Al Silwadi et al., 1996)

بخش بالایی سازند سورمه به سن کیمریجین تا تیتونین در فرهنگ چینه‌شناسی کشورهای جنوبی حاشیه خلیج فارس به اسم سازند عرب خوانده می‌شود. این سازند، سنگ مخزن میادین هیدروکربنی عظیمی در کشورهای عربستان

\* نویسنده مرتبط: ebrahimspidari@ut.ac.ir

کف حوضه، سه حوضه درون شلفی: ربع الخالی<sup>۱</sup> در شمال غربی امارات کنونی، حوضه عربی<sup>۲</sup> در شمال و شمال شرق عربستان و حوضه گوتینیا<sup>۳</sup> در محدوده کنونی کشور کویت و جنوب شرقی عراق گستردہ بودند (شکل ۱). این حوضه‌های درون شلفی بهوسیله عناصر تکتونیکی کمان قطر-فارس (جداکننده حوضه ربع الخالی از حوضه عربی و گوتینیا) و کمان ریمتان (جداکننده حوضه عربی از حوضه گوتینیا) از همدیگر و بهوسیله اولیت آساب<sup>۴</sup> از دریای نئوتیس جدا شده بودند (Al-Husseini, 2000). در طی دوره ژوراسیک، نوسانات سطح آب دریا همراه با تغییرات تکتونیکی کف حوضه در این پلاتفرم کربناته، منجر به رسوب‌گذاری توالی‌های ضخیم رسوی شامل سنگ منشاء در مناطق عمیق‌تر حوضه‌های درون پلاتفرمی، سنگ مخزن در مناطق کم عمق‌تر و پوش سنگ‌های منطقه‌ایی گستردہ در اثر پایین آمدن سطح آب دریا و تشکیل لagon‌های محدود شده، و شرایط برای تشکیل سیستم‌های نفتی عظیم ژوراسیک فراهم شده است (Murris 1980). در طی ژوراسیک میانی شرایط بی‌اکسیژنی باعث تشکیل سنگ منشاء‌های کربناته Jubaila در عربستان سعودی، Darb و Daiyab در امارات متحده عربی و قطر و بخش میانی سازند سورمه در بخش شمالی خلیج فارس شده است. در طی ژوراسیک پسین، منطقه مورد مطالعه در عرض جغرافیایی حدود ۱۰ درجه قرار گرفته بود و در این شرایط نیمه‌خشک، سازند کربناته-تبخیری عرب معادل بخش بالایی سازند سورمه رسوب‌گذاری کرده است. با ادامه پایین رفتن سطح آب دریاها در انتهای ژوراسیک و در طی تیتونین، سازند انیدریتی هیث به عنوان یک پوش‌سنگ در مناطق گستردہ‌ای رسوب‌گذاری کرده است و در ادامه آن هم سازندهای ابتدایی کرتاسه به صورت ناپیوسته بر روی سازند هیث قرار گرفته‌اند. سازندهای Arab، Jubaila، Hiht و HST بخش دومین مگاسکانس ژوراسیک پلیت عربی یعنی مگاسکانس شماره هفت (AP7) شارلند و همکاران (۲۰۰۱) را تشکیل می‌دهند.

1. Rub alkali

2. Arab basin

3. Goutnia basin

4. Asab

در امارات متحده عربی مورد مطالعه و بررسی قرار گرفته است. لیتوفاسیس، محیط رسوی و چینه نگاری سکانسی این سازند توسط پاورس و همکاران (Powers et al., 1966)، لینیندره و همکاران (Le Nindre et al., 1990) مایر و همکاران (Meyer et al., 1996)، در خنمن مطالعه شده است. همچنین مطالعات زیرسطحی فراوانی بروی این سازند در چاههای حفاری شده انجام گرفته که در آنها به محیط رسوی (Azar and Peebles, 1998; Alsad and Sadouni, 2001; Meyer et al., 1996) فرایندهای دیاژنزی (Alsharhan and Whittle, 1995; Morad et al., 2012) چینه نگاری سکانسی (Handford et al., 2002; Azar and Peeble, 1998; Al-Husseini, 1997; Sharlan et al., 2001) و کیفیت مخزنی (Lucia et al., 2001) پرداخته شده است. با این وجود، با توجه به این‌که سازند عرب مخازن هیدروکربنی مهمی را در میادین سلمان، بلال، رشادت، رسالت و فردوسی در بخش شمالی خلیج فارس تشکیل داده است، اما مطالعات محدودی از این سازند در بخش ایرانی انجام شده (Daraei et al., 2014) و اکثر مطالعاتی که بر روی این سازند انجام شده به کشورهای عربی محدود شده است، در این راستا مطالعه حاضر به بررسی سازند عرب در میدان سلمان پرداخته و سه هدف اصلی به شرح زیر را دنبال خواهد کرد. ۱) تشخیص میکروفاسیس‌ها و محیط رسوی سازند عرب در میدان مورد مطالعه، ۲) تعیین فرایندهای دیاژنزی و مطالعه نقش آنها در کیفیت مخزنی سازند مورد مطالعه، ۳) بررسی کیفیت مخزنی سازند در میدان مورد مطالعه.

## زمین‌شناسی منطقه

در طی ژوراسیک پیشین تا پسین، پلاتفرم کربناته وسیعی در بخش جنوبی اقیانوس نئوتیس در بخش شمالی پلیت عربی گستردہ شده بود (Murris, 1980). در این پلاتفرم کربناته وسیع، به دلیل فرایندهای تکتونیکی مختلف، از قبیل گسل‌های بی‌سنگی و فرونژنیست متفاوت

که بخش بالایی سازند سورمه معادل سازند عرب در حاشیه جنوبی خلیج فارس مخزن اصلی تولیدکننده میدان را تشکیل می‌دهد.

## داده‌ها و روش مطالعه

داده‌های این مطالعه از چاههای حفاری شده تا رسوبات کربناته ژوراسیک بالایی در میدان سلمان تهیه شده است. مجموع ۱۷۵ مقطع نازک تهیه شده از مغزه، از چاه ۲-۲S برای تشخیص رخساره‌های رسوبی استفاده شده است. برای توصیف رخساره‌ها از الگوی دانه‌ام (۱۹۶۲) همراه با ساختهای رسوبی، اندازه دانه‌ها، ترکیب سنگ و دیاژنز آلوکم‌ها استفاده شده است (شکل ۳). بعد از تشخیص رخساره‌ها در میدان، بر اساس توزیع رخساره‌ها، مدل رسوبی سازند عرب در میدان مورد مطالعه بازسازی شده و نقش توزیع رخساره‌ها در کیفیت مخزنی مورد بررسی قرار گرفت. داده‌های تخلخل و تراوایی موجود از چاههای مورد مطالعه برای بررسی کیفیت مخزنی سازند، مورد استفاده قرار گرفت. برای این منظور از روش پتروفیزیکی فابریک سنگ لوسیا استفاده شد. در مرحله اول با استفاده از گامایی مغزه و گامایی حاصل از لاغهای چاپ‌پیمایی عمق بین داده‌های مغزه و لاغها تصحیح شد. در ادامه با استفاده از داده‌های تخلخل و تراوایی چاهی که در آنها آنالیز رخساره‌ایی انجام گرفته شده بود کیفیت مخزنی رخساره‌ها با استفاده از روش لوسیا (۱۹۸۳) از نظر کمی مورد بررسی قرار گرفت. همچنین برای بررسی دقیق‌تر کیفیت مخزنی رخساره‌های شناسایی شده و تعیین نوع فضاهای منفذی در هر رخساره، از داده‌های تزریق جیوه استفاده شد. از طرف دیگر از لاغهای چاپ‌پیمایی موجود برای ارزیابی پتروفیزیکی و تعیین لیتو‌لوزی استفاده شد.

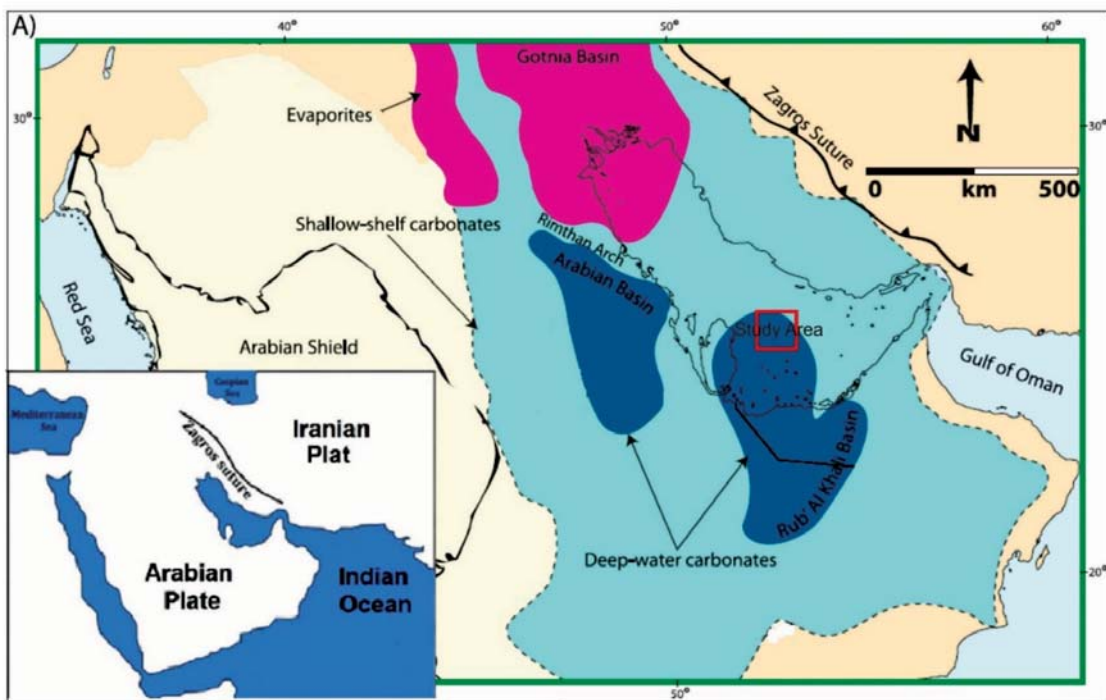
## بحث

در ادامه نتایج مورد مطالعه با رخساره‌های رسوبی ارائه خواهد شد.

1. Lower Anhydrite
2. Dense Limestone
3. Middle Anhydrite
4. Upper Anhydrite

برای اولین بار مقطع نمونه سازند عرب در چاه شماره ۷ دمام در شرق عربستان سعودی با ضخامت ۱۲۷ متر توسط پاورس و همکارانش (Powers et al., 1966) معرفی شد. به‌طورکلی سازند عرب با لیتو‌لوزی آهک، دولومیت و انیدریت از چهار چرخه به سمت بالا عمق شونده شامل D، C، B، A و A تشکیل شده است که D قدیمی‌ترین و A جوان‌ترین آن می‌باشد (Powers et al., 1966). سیکلهای کربناته-تبخیری سازند عرب نشان‌دهنده سکانس‌های رسوبی پیش‌رونده-پس‌رونده در بازه‌های تقریبی پنج میلیون سال می‌باشند (Sharland et al., 2001). این سیکل‌ها با کربنات‌های بخش پرانرژی شول‌های رمپ داخلی شروع و با مادستون‌های دولومیتی شده لagon ادامه یافته و در انتهای هم به رسوبات تبخیری بخش بالایی اینترتايدال و سوپراتايدال ختم می‌شود (Azar and Peeble, 1998). اینیدریت‌های بخش بالایی هر چرخه به عنوان پوش برای آن چرخه عمل می‌کنند و به عنوان لایه‌های کلیدی برای انتباطق ناحیه‌ایی مورد استفاده قرار می‌گیرند (Azar and Peeble, 1998; Sharland et al., 2001). لایه اینیدریتی پوشاننده بخش عرب D به عنوان اینیدریت زیرین<sup>۱</sup> شناخته می‌شود که به سمت شرق امارات به لایه آهکی چگال<sup>۲</sup> تغییر لیتو‌لوزی می‌یابد. اینیدریت جداکننده کربنات‌های بخش C از B به عنوان اینیدریت میانی<sup>۳</sup> و بخش A از A به عنوان اینیدریت بالایی<sup>۴</sup> نامیده می‌شود (Al Silwadi et al., 1996; Sharland et al., 2001). اینیدریت‌های پوشاننده بخش A به عنوان سازند هیث خوانده می‌شود.

میدان سلمان به صورت یک میدان گنبدی شکل در اثر نفوذ توده‌های نمکی، در بخش دور از ساحل ایران و در شرق میدان پارس جنوبی قرار گرفته است. این میدان در خط مرزی بین جمهوری اسلامی ایران و امارات متحده عربی قرار گرفته و یک میدان مشترک به شمار می‌آید که ۳/۴ آن متعلق به ایران و ۱/۴ آن متعلق به امارات می‌باشد. در این میدان بازه‌های مخزنی زیادی از قبیل: رسوبات آواری قبل از خوف پالوزوئیک، رسوبات کربناته کنگان و دلان، رسوبات کربناته بخش بالایی سازند سورمه و کربنات‌های کرتاسه زیرین شامل سازندهای فهلیان و داریان وجود دارند



شکل ۱. موقعیت حوضه‌های درون شلفی در ژوراسیک بالایی و موقعیت میدان مورد مطالعه (Cantrell et al., 2001)

نشان‌دهنده تأثیر شورابه‌های نفوذی از سابخا (سوپراتایدال) هستند. در مطالعات (Azer and Peebles, 1998) بر اساس کارهای ایزوتوپی، منشأ شورابه‌های تبخیری با دمای کم برای فرآیند تبخیر و دولومیتی شدن تأیید شده است. فضاهای بین بلوری بیشترین بخش تخلخل را در این میکروفاسیس تشکیل می‌دهند. این میکروفاسیس اندیزیت (بدون کیفیت مخزنی بالا) به همراه میکروفاسیس اندیزیت (بدون کیفیت مخزنی) یک روند تنابوی و تکراری را در بخش‌های بالای سازند عرب ایجاد کرده‌اند. از مهم‌ترین فرآیندهای دیاژنزی در این رخساره، می‌توان به تراکم و سیمانی شدن اندیزیتی اشاره کرد. بر اساس ویژگی‌های اصلی، این میکروفاسیس بیانگریک محیط اینترتايدال تا سوپراتایدال می‌باشد (Brett et al., 2004).

**رخساره مادستون دارای اندیزیت (MF3)**  
این میکروفاسیس دارای فابریک تبخیری غالب با لامینه‌بندی بوده و مربوط به زیر محیط فوق جزر و مدی (سوپراتایدال) تا بین جزر و مدی (اینترتايدال) می‌باشد (شکل ۲-E). در بعضی از مقاطع، بافت تکه‌ای در زمینه سولفاته جایگزین شده که بیانگر تغییرات از خشکی به سمت

**رخساره اندیزیت (MF1)**  
بافت اندیزیت در مقاطع مورد مطالعه به اشکال توده‌ای تا لانه قفس مرغی می‌باشد (شکل ۲ A-۲ و B). اندیزیت، عمده حجم این رخساره را به خود اختصاص می‌دهد با این وجود در بعضی موارد رشتلهای دولومیتی در اندازه‌های مختلف و میکریت هم دیده می‌شود. این رخساره مربوط به زیر محیط‌های سوپراتایدال و یا نمکزارهای حواشی لagon بوده و شاخص آب و هوای گرم و خشک و متعلق به کمریند رخساره‌ای بالای پهنه جزر و مد (سوپراتایدال) می‌باشد.

**رخساره دولومیتون متبلور (MF2)**  
این میکروفاسیس در اصل یک رخساره مادستونی بوده که در زیر محیط سوپراتایدال دولومیتی شده است. دولومیتی شدن در این میکروفاسیس به صورت فراگیر و غیرتقلیدی است و تقریباً تمام اجزا دولومیتی شده‌اند که در اثر نفوذ شورابه‌های هایپرسالین صورت گرفته است. در این میکروفاسیس، اندازه بلورها دولومیت متغیر هستند که بیانگر شرایط رشد بلورها و تشکیل هسته آنها می‌باشد (شکل ۲-C و D). تکه‌های اندیزیت در مقاطع وجود دارد که

این رخساره می‌توان به میکراتی شدن، سیمانی شدن کلسیستی، دولومیتی شدن انتخابی، نئومورفیسم، انحلال و غیره اشاره کرد. این رخساره نشان دهنده رسوب‌گذاری در شرایط انرژی کم تا متوسط در دریای محدود شده و لagon می‌باشد.

دریا می‌باشد. اشکال تیغه‌ای بلورهای انیدریت در این بخش از سازند عرب وجود دارند. تکه‌های انیدریت به دلیل داشتن الگوی توزیع غیریکنواخت، تأثیر ناچیزی روی کیفیت مخزنی دارند. دولومیتی شدن و انیدریتی شدن در این رخساره از مهم‌ترین فرآیندهای دیاژنزی می‌باشدند.

#### رخساره وکستون پلووییدی (MF6)

این میکروفاسیس دارای پلوئیدهای میکراتی دریک‌زمینه گلی است و خاص زیرمحیط لagon می‌باشد (Flugel, 2004). اجزای تشکیل دهنده این میکروفاسیس شامل فرامینیفرهای کفزی، جلبک سبز، خردۀای استراکود و اجزای دیگر است (شکل ۱-۲). میکراتی شدن گستردۀ بر روی آلوکم‌های (شکل ۱-۲). میکراتی شدن گستردۀ بر روی آلوکم‌های مختلف نیز بیانگر شرایط لagonی محدود می‌باشد. بلورهای خودشکل دولومیت در این رخساره هم جانشین آلوکم‌ها و ماتریکس گلی شده و هم فضاهای خالی بین دانه‌ای را پُر کرده‌اند. از این‌رو، باعث کاهش تخلخل و تراوایی شده‌اند. فضاهای خالی اندک باقیمانده در این رخساره بیشتر به صورت بین‌بلوری و ریزتخلخل در زمینه است. از مهم‌ترین فرآیندهای دیاژنسی مؤثر بر آن می‌توان میکراتی شدن، سیمانی شدن، دولومیتی شدن و تراکم را نام برد.

#### رخساره وکستون بایوکلاستی (MF7)

در این میکروفاسیس، آلوکم‌ها عمدتاً خردۀای فسیلی جلبک سبز از قبیل کلیپینا، فرامینیفرهای کفزی از جمله میلیولید و گاستروپود است که به نظر می‌رسد مربوط به زیرمحیط لagon باشند (شکل ۲-K و J). اجزای فرعی دیگر شامل ذرات پلوئید، اینتراکلاست و آنکوئید هستند. این رخساره نشان دهنده رسوب‌گذاری در شرایط انرژی کم تا متوسط و در زیرمحیط حدواسط لagon تا پهنهٔ جزر و مدی می‌باشد. از مهم‌ترین فرآیندهای دیاژنسی مؤثر بر این رخساره می‌توان به دولومیتی شدن، سیمانی شدن، میکراتی شدن، زیست آشفتگی و انحلال اشاره کرد.

#### رخساره پکستون تا گرینستون بایوکلاستی (MF8)

این میکروفاسیس عمدتاً از خردۀای فسیلی مختلف فرامینیفرهای کفزی، جلبک سبز، دوکفهای و گاستروپود

#### رخساره مادستون استروماتولیتی (MF4)

این میکروفاسیس دارای تناوبی از لایه‌های تاریک F-۲ و G) و عمدتاً به زیرمحیط جزر و مدی محیط‌های قدیمی و امروزی نسبت داده می‌شود (Flugel, 2004). تکه‌های پراکنده انیدریت (شکل ۲-۲) نشان دهنده تأثیر شورابه‌های سایخا (سوپراتایdal) می‌باشد. رخساره، دارای بافت فنستران بوده و در آن دولومیت میکراتی تا بسیار ریزبلور، بی‌شکل تا نیمه شکل‌دار، گاهی با بافت به هم فشرده جانشین آلوکم‌ها و ماتریکس سنگ آهک شده است. این رخساره، گل میکراتی زیاد داشته و دارای میزان فراوان تخلخل چشم پرندۀای (فنستران) است. دولومیتی شدن، انحلال، انواع مختلف بافت‌های انیدریتی و تبلور مجدد از مهم‌ترین فرآیندهای دیاژنسی مشاهده شده در این رخساره است. این رخساره نشان دهنده رسوب‌گذاری در شرایط انرژی کم تا متوسط و در زیرمحیط حدواسط لagon تا پهنهٔ جزر و مدی می‌باشد.

#### رخساره بایندستون جلبکی (MF5)

اجزای تشکیل دهنده این میکروفاسیس عمدتاً شامل ذرات مختلف پلوویید، اینتراکلاست و خردۀای صدفی مختلف هستند (شکل ۲-H). حفرات روزنه‌ای یا فنستران از دیگر ویژگی‌های این میکروفاسیس بوده و عمدتاً باعث افزایش تخلخل شده اما تأثیر مشخصی روی تراوایی ندارند. این میکروفاسیس مشخصه زیرمحیط بین جزر و مدی و لagon است. آلوکم‌ها بیشتر مشتمل از خردۀای فسیلی از جمله گاستروپودها، قطعات دوکفهای، خارپوست، استراکود، فرامینیفر و جلبک کلیپینا هستند. بخشی زیادی از زمینه، توسط گل آهکی پوشیده شده است. آلوکم‌ها هم بهشت میکراتی شده‌اند. نمونه‌ها آثار زیست آشفتگی هم نشان می‌دهند. از مهم‌ترین فرآیندهای دیاژنسی همراه

کرده و موجب کاهش تخلخل شده است. در این رخساره انحلال، دولومیتی شدن، سیمانی شدن با انیدریت و تراکم از فرآیندهای دیاژنزی عمدت هستند.

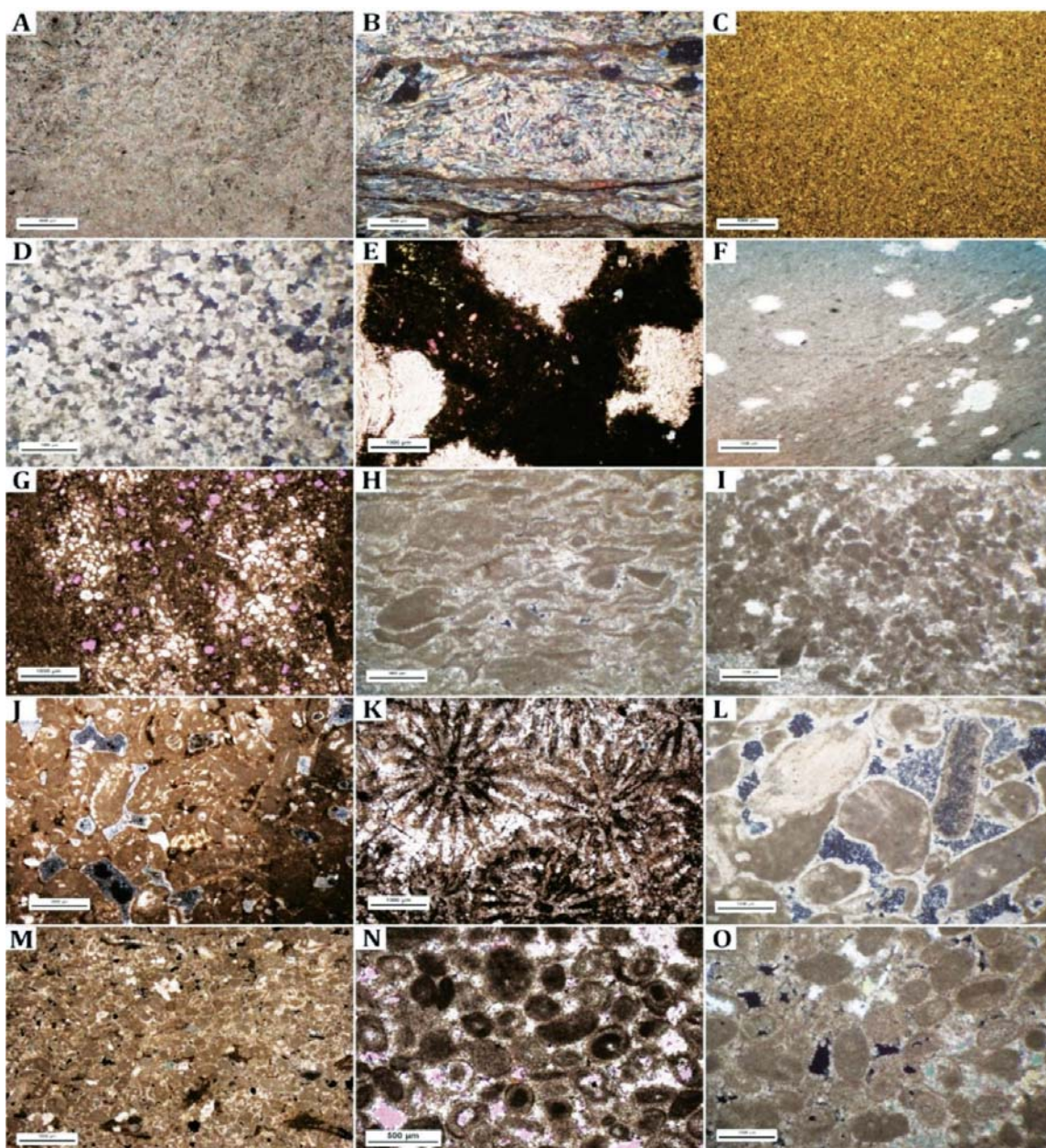
### مدل رسوی

توزیع رخساره‌های رسوی در مقیاس قائم و جانبی همراه با تفسیر شرایط رسوی، اطلاعات مناسبی در مورد مدل رسوی سازند ارائه می‌دهد. رخساره‌های همراه با شلف‌های لبه‌دار، رخساره‌های توربیدیتی، نهشته‌های دور از ساحل و همچنین رخساره‌ها و قطعات فسیلی بخش دریای باز در میدان مورد مطالعه دیده نمی‌شود. از این رو بر اساس مطالعات گذشته بر روی خصوصیات رسوب‌شناسی و لیتواستراتیگرافی سازند عرب در خاورمیانه (Alsharhan and Kendall, 1986; Alsharhan and Whittle, 1995) و تقسیم‌بندی نهشته‌های رسوی بر اساس مدل (Burchette and Wright, 1992) و همچنین تبدیل تدریجی رخساره‌ها به هم، نبود ساخته‌های ریفی سدی قابل ملاحظه، به نظر می‌رسد توالي مورد مطالعه سازند عرب در میدان سلمان در بخش‌های داخلی یک رمپ کربناته کم شیب رسوب‌گذری کرده است (Buxton and Pedley, 1989; Burchette and Wright, 1992). در توالي مورد مطالعه از سازند عرب، زیر محیط‌های جزر و مدی، لاگون و شول در این رمپ کربناته تشخیص داده شده است (شکل ۴). این استدلال با استفاده از مشاهدات زیر انجام گرفته است: ۱) میکروفاسیس‌های مربوط به محیط پرتایال، شامل رخساره‌های ۱ تا ۴، که به وسیله رخساره‌های معمول سبخا از قبیل انیدریت و دولومادستون‌های حاوی انیدریت، نبود اجزاء فسیلی وجود فابریک فنسترانل به رسوب‌گذاری در قسمت بالای حداقل جزر (FWWB) در یک رمپ کربناته (Wilson, 1975; Buxton and Pedley, 1989; Burchette and Wright, 1992) ۲) رخساره‌های مربوط به زیرمحیط لاگون شامل رخساره‌های ۵ تا ۷، که با استفاده از اجزاء تشکیل دهنده لاگون شامل فرامینیفرهای بنتیک (میلیولیدها، گاستروپودها و تکستولاridها)، زیست آشفتگی جلبک‌های سبز و ماتریکس میکریتی به محیط لاگون که به وسیله

تشکیل شده است. اجزای غیراسکلتی فرعی شامل پلووید، آئید، آنکوئید و اینتراکلاست می‌باشد (شکل ۲ M-L). محیط تشکیل این میکروفاسیس به محدوده پرانرژی تا متوسط بین لاگون و شول نسبت داده می‌شود. سیمان دور دانه‌ای اولیه محیط فریاتیک دریابی به فراوانی در اطراف و فضاهای خالی درون آلوکم‌ها تشکیل شده است. همچنین آثاری از تشکیل سیمان رشد اضافی هم محور در اطراف برخی آلوکم‌ها مشاهده می‌شود. فضاهای خالی در این رخساره بیشتر حفره‌ای، بین دانه‌ای، درون دانه‌ای و قالبی است. ماتریکس میکرایتی خیلی کم است و یا اصلاً وجود ندارد. از مهم‌ترین فرآیندهای دیاژنزی مؤثر بر این رخساره، انحلال، دولومیتی شدن، سیمانی شدن با انیدریت و دولومیت و شکستگی است. به نظر می‌رسد رسوب‌گذاری این رخساره در شرایط انرژی متوسط تا بالا و در پشت سد/ پشته با گردش آزاد آب صورت گرفته باشد.

### رخساره گرینستون آئیدی (MF9)

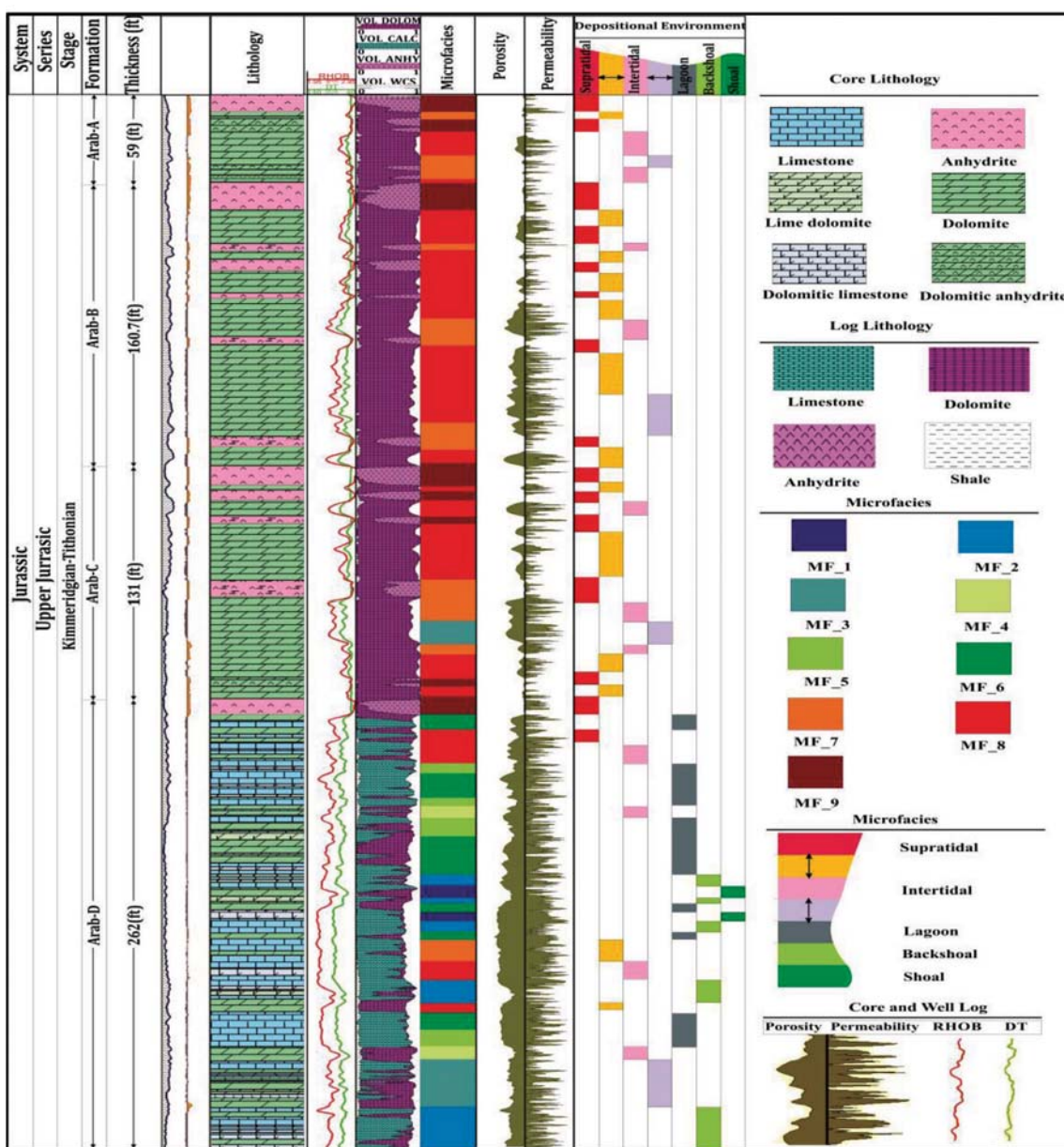
این میکروفاسیس جزء اصلی تشکیل دهنده کمریند رخساره‌ای شول می‌باشد. وجود آلوکم‌های خوب جور شده، سیمانی شدن زیاد و نبود گل بیانگر شرایط پرانرژی محیط تشکیل این میکروفاسیس هستند. اجزای اصلی تشکیل دهنده این رخساره بیشتر آئید و به مقدار کمتر خردکهای فسیلی هستند. اجزای فرعی سازنده شامل اینتراکلاست و آنکوئید هستند (شکل ۰-۲ N-O). ذرات موجود یک چهارچوب تشکیل داده‌اند که باعث حفظ تخلخل بین دانه‌ای اولیه شده است. آئیدها عمدها دارای ترکیب کلسیتی بوده و شکل خود را در طی دیاژنز حفظ کرده و عمدها هسته آئیدها را حل نموده و در مرحله بعد توسط انیدریت یا دولومیت پر شده‌اند. در این رخساره، نمونه‌آهکی اولیه توسط بلورهای ریز دولومیت جانشین شده است. با وجود این، فرآیند دولومیتی شدن که در فضای بین آلوکم‌ها و دور آنها موجب جانشینی سیمان اولیه فریاتیک دریابی شده است، با فرایند گستردۀ انحلال دنبال شده است. آثار میکرایتی شدن آلوکم‌ها هم در حاشیه آنها مشهود است. بخشی از فضاهای خالی قالبی و بین دانه‌ای را سیمان انیدریتی مربوط به مراحل تأخیری دیاژنزی پر



شکل ۲. تصاویر میکروسکوپی میکروفاسیس‌های شناسایی شده در میدان سلمان، (A-B) آنیدریت، (C-D) دولوستون متبلور، (E) مادستون دارای آنیدریت، (F-G) مادستون استروماتولیتی، (H) بایندستون جلکی، (I) وکستون پلوریدی، (J-K) وکستون بایوکلاستی، (L-M) پکستون تا گرینستون بایوکلاستی، (N-O) گرینستون آلیدی

از قبیل نبود آنیدریت و ماتریکس میکریتی، وفور آلومینا خوب جوشده به زیرمحیط شول نسبت داده شده است (Wilson, 1975; Burchette and Wright, 1992).

مجموعه شول محدود شده است نسبت داده شده است (Wilson, 1975; Burchette and Wright, 1992).  
۳) رخسارهای مربوط به زیرمحیط شول شامل رخسارهای ۸ و ۹، که با استفاده از پارامترهای خاص (شکل ۴).



شکل ۳. لگ رسوب‌شناسی بخش بالایی سازند سورمه (عرب) در میدان سلمان

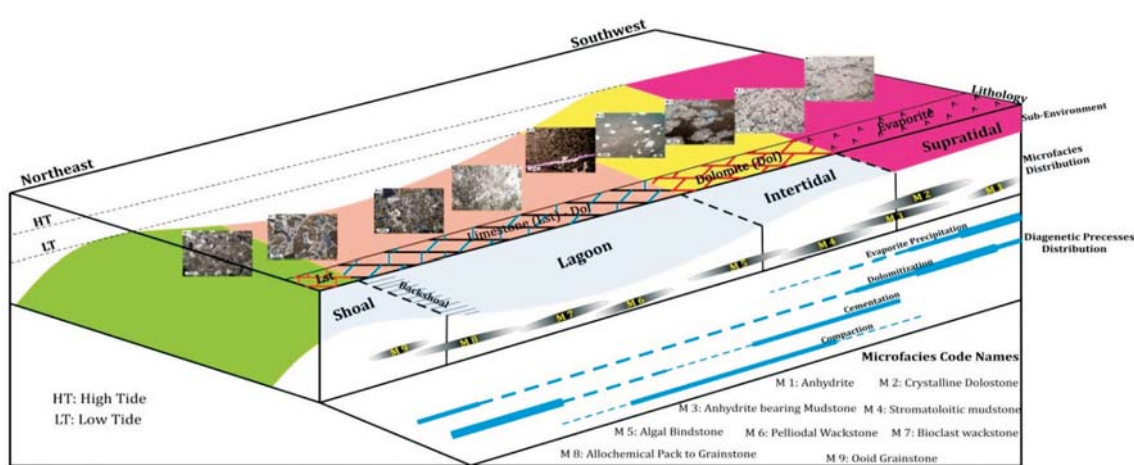
گذار بر سازند مورد مطالعه در سه محدوده دیاژنزی، دریابی، هایپرسالین و تدفینی معرفی خواهد شد.

### دیاژنز دریابی

میکریتی شدن (شکل A-۵) و سیمان دریابی (شکل B-۵) مهم‌ترین پارامترهای این محدوده هستند که در طی دوره بالا بودن سطح نسبی آب دریا اتفاق افتاده‌اند. میکریتی شدن در بیشتر رخساره‌های دانه غالب دیده می‌شود و فرایند

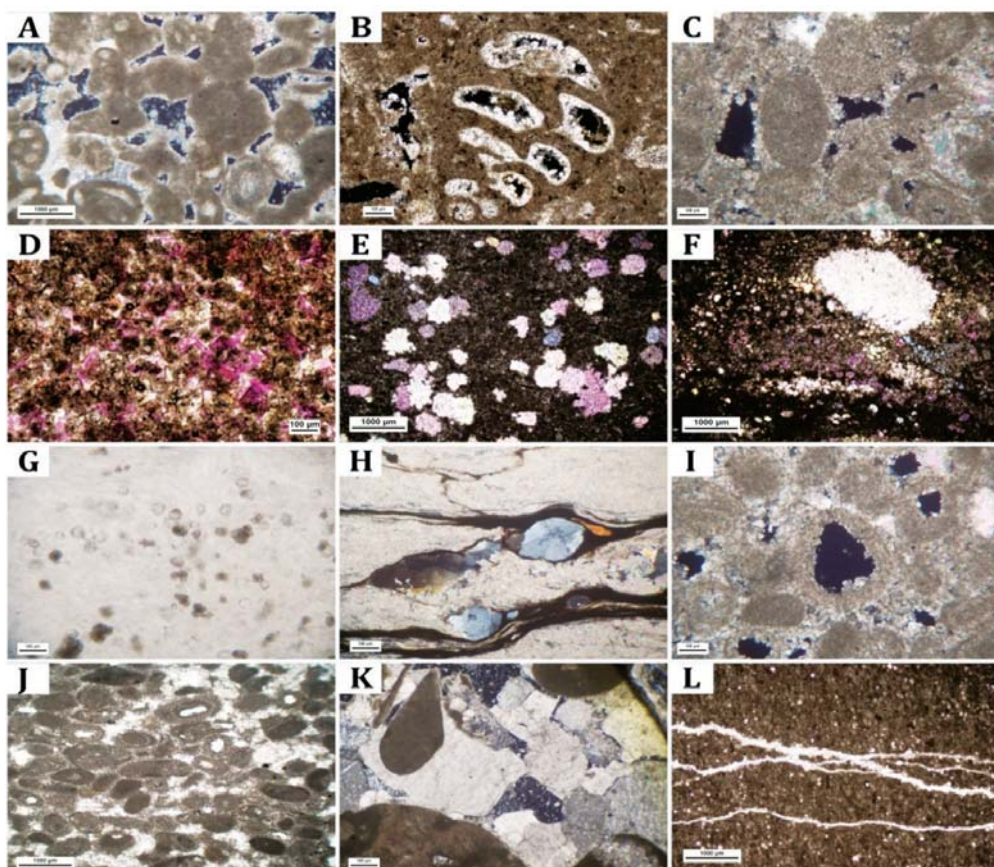
### دیاژنز و نقش آن بر کیفیت مخزنی

مخازن کربناته نسبت به فرایندهای دیاژنزی از حساست بالایی برخوردار می‌باشدند. برای ارزیابی کیفیت مخزنی مخازن کربناته، فهم توزیع فرایندهای دیاژنزی از اهمیت بالایی برخوردار می‌باشد. پارامترهای دیاژنسی تاثیرگذار بر سازند عرب در میدان سلمان نقش دوگانه‌ایی بر کیفیت مخزنی داشته‌اند. در زیر مهم‌ترین پارامترهای دیاژنسی تاثیر



شکل ۴. مدل رسوی سازند عرب و توزیع میکروفاسیس‌های سازند عرب در میدان مورد مطالعه

غالب در محدوده دیاژنر دریایی می‌باشد (شکل C-۵). این فرایند در طول رسوی گذاری یا بالافاصله بعد از رسوی گذاری بهصورت پوشش‌های نازک اطراف آلوکم‌ها مخصوصاً آییدها و پلوئیدها مشاهده می‌شود (شکل C-۵). میکریت در بازه مورد مطالعه منجر به حفظ فابریک آلوکم‌ها شده است.



شکل ۵. عکس‌های میکروسکوپی نشان‌دهنده خصوصیات دیاژنری سازند عرب می‌باشند. (A) سیمان دریایی در حجره گاستروپود، (B) سیمان دریایی حفظ کننده چارچوب، (C) تخلخل‌های درون بلوری، (D-E-F) اندیزیت تکه‌ای، (G) جایگزینی کریستال‌های کوچک دولومیت به‌وسیله اندیزیت، (H) جایگزینی چرت با اندیزیت، (I) تخلخل قالبی، (J) فشردگی، (K) سیمان تدفینی و (L) شکستگی‌های سیمانی شده

با رخساره‌های گل غالب به دلیل گسترش تخلخل‌های بین‌بلوری، باعث افزایش کیفیت مخزنی شده است (شکل D-۵) (Lucia, 2007) به نظر می‌رسد دولومیتی شدن و سیمانی شدن سولفاته (انیدریت) رخساره‌های سوپراتایدل و اینترتايدال در محیط‌های سبک‌ای اتفاق افتاده است، حال آنکه دولومیتی شدن رخساره‌های پکسون و گرینستون زیر ناحیه جزرومی به وسیله نفوذ سیالات سور لagon به سمت پایین (نشتی-برگشتی) در طول زمان پایین بودن سطح آب دریا اتفاق افتاده است (Morad et al., 2012).

دولومیتی شدن به دلیل تهی شدن سیالات هایپرسالین از سولفات با انیدریتی شدن همراه می‌باشد (Lucia, 1999).

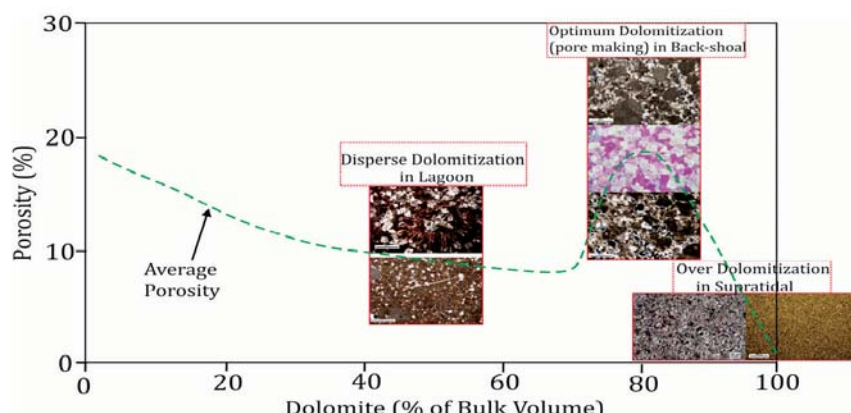
سیمان انیدریتی تاثیر منفی بر روی کیفیت مخزنی داشته است (شکل E-۵ و F). لایه‌های انیدریت اولیه، پوش‌های مهمی را در سازند عرب تشکیل داده‌اند. شکل H-۵ جابجایی کریستال‌های کوچک دولومیت را به وسیله انیدریت نشان می‌دهد. انیدریت همچنین در طول پایین افتادن سطح نسبی آب دریا به وسیله چرت جایگزین شده است (شکل H-۵). سیالات فوق سور همچنین باعث انحلال آئیدها، پلوئیدها و بایوکلاستها در رخساره‌های دانه غالب گردیده و تخلخل نوع قالبی و درون دانه‌ایی ایجاد کرده‌اند (شکل I-۵). کانی‌های آزاد شده توسط انحلال ممکن است که به صورت سیمان در نواحی نزدیک فضاهای انحلالی دوباره رسوب کنند (شکل I-۵). دیاژنر متئوریک تاثیر ناچیزی بر روی سازند مورد مطالعه داشته است و سیمان متئوریک هم در رخساره‌ها دیده نمی‌شود.

سیمان‌های دریایی به صورت انیدریت، دولومیت و کلسیت در رخساره‌های دانه غالب اتفاق افتاده است (شکل I-۵). سیمان دریایی بیشتر در رخساره‌های مربوط به محیط پرانرژی (محیط شول) معمول می‌باشد. این سیمان‌های دریایی از تغییرات دیاژنسی بعدی در طول تدفین جلوگیری کرده با این حال در مواردی فضاهای خالی را پر کرده و باعث کاهش تخلخل اولیه شده است (شکل J-۵). سیمان دریایی همچنین از فشردگی بیشتر رخساره‌های گرینستونی در طول تدفین و کاهش گستردگی تخلخل جلوگیری کرده است (شکل C-۵).

رخساره‌های شول با شدت‌های متفاوتی تحت تاثیر سیمان دریایی قرار گرفته است و تخلخل و تراوایی بالا در این رخساره، تاثیر مثبت این پارامتر بر کیفیت مخزنی را نشان می‌دهد.

### دیاژنر هایپرسالین

دولومیتی شدن و انیدریتی شدن مهم‌ترین پارامترهای دیاژنسی این محدوده را تشکیل می‌دهند که نقش متغیری بر کیفیت مخزنی دارا می‌باشند. دولومیت عمدها در رخساره‌های پرتایدل و بخش پشتی شول اتفاق افتاده است (شکل D-۵). رسوبات لagon هم به مقدار کمتر تحت تاثیر سیالات دولومیتی کننده قرار گرفته‌اند. رابطه پیچیده بین شدت دولومیتی شدن و تخلخل در شکل (۶) نشان داده شده است (Lucia, 1999). همان‌طور که دیده می‌شود میزان دولومیتی شدن تا ۶۵ درصد و از ۸۰ تا ۱۰۰ درصد با کاهش تخلخل همراه بوده، حال آنکه از ۶۵ تا ۸۰ درصد با افزایش تخلخل همراه می‌باشد. دولومیتی شدن فرآگیر رخساره‌های اینترتايدال و سوپراتایدل در مقایسه



شکل ۶. رابطه بین میزان دولومیتی شدن با تخلخل با تغییر از لوسیا (۲۰۰۷)

دولومیتی شدن رسوبات منطقه بین جزر و مدي و زیر جزر و مدي شده است. سیکل هایی که به طرف بالا به صورت رسوبات پشته کم عمق هستند به تبخری های سوپراتایdal و اینترتایدال ختم می شوند و موجب تشکیل مخازنی شده اند که شامل رخساره های خطوط ساحلی حوضه لاگون می باشند. تکرار مهاجرت رخساره ها به سمت دریا و خشکی، موجب تشکیل مخازن رسوبی گوهای شکلی از رسوبات زیر جزر و مدي و بین جزر و مدي در زیر و رخساره های سوپراتایdal ایندریتی غیرقابل نفوذ در میان آنها می شود. گرینستون های الیتی مربوط به پشته کم عمق (شول) و کانال های جزر و مدي و همچنین دولومیت های دانه شکری (درشت بلور) زیر جزر و مدي رخساره اصلی این مخازن را تشکیل داده اند. انحلال تبخری ها می توانند برش های ریزشی را ایجاد کنند که منجر به تشکیل مخازن با کیفیت بالا شوند. مخازن سوپراتایdal نسبتاً کم ضخامت هستند ولی به طور جانبی وسعت زیادی دارند.

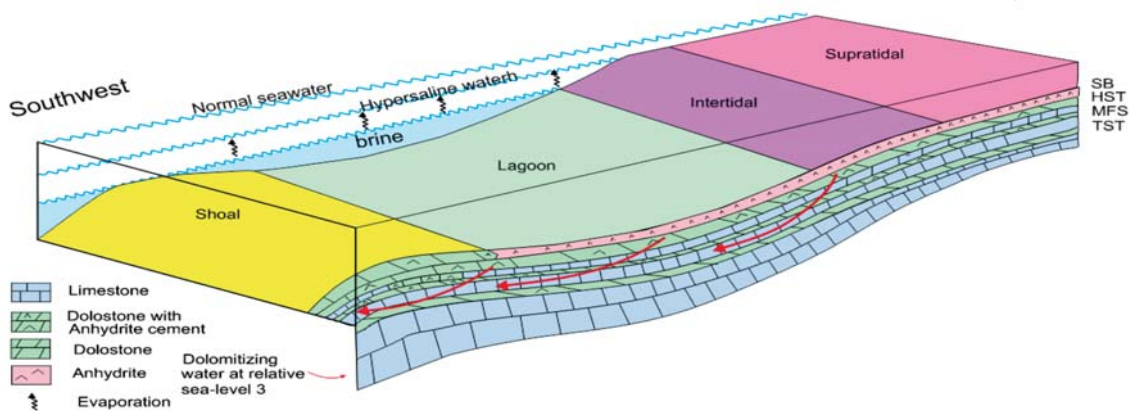
همراهی دولومیت ها با ایندریت های لایه ای ضخیم و حجم بالای دولومیت نشان می دهد که مکانیزم و فرآیند تشکیل دولومیت باید مرتبط به دو مدل تراویشی-برگشتی و تبخری باشد. کاهش دولومیتی شدن به سمت بخش های پایین سازند و وجود تبخری های گسترده، نشان می دهد که ورود این آبهای غنی از منیزیم از سمت بالا، عامل اصلی دولومیتی شدن بوده است. بنابراین، اصلی ترین مدلی که می تواند این فرآیندها را توضیح دهد مکانیزم نشتی-برگشتی و تبخری است. این مدل ها می توانند به منظور توضیح فرآیندهای تشکیل اکثر دولومیت های سازنده به کاربرده شوند. بر اساس نتایج حاصل از میکروفاسیس، دیاژنز و محیط های رسوبی، دولومیتی شدن تبخری، سیمانی شدن و تکامل تخلخل-تراویی به احتمال زیاد در یک رمپ کربناته لاگونی رخ داده است که از طریق سد/شول از دریای باز جدا شود است (شکل ۷). دولومیتی شدن نشتی-بازگشتی عمدتاً در طول پایین آمدن نسبی سطح آب دریا و افزایش پیوسته شوری در محیط لاگون به وقوع پیوسته است (Saller and Henderson, 1998). دولومیتی شدن در رسوبات پری تایdal از نوع مدل سابخا می باشد (Morad et al., 2012).

## دیاژنز تدفینی

فشردگی رسوبات در تمام مراحل دیاژنز اتفاق افتاده است. فشردگی رابطه مستقیمی با فشار رسوبات بالای داشته و باعث گسترش استیلویلت گردیده است (Alsharhan and Whittle, 1995). فشردگی، شکستگی، سیمانی شدن و دولومیتی شدن مهم ترین پارامترهای دیاژنزی این مرحله در سازند عرب را تشکیل می دهند. تاثیر این عوامل بر روی سازند مورد مطالعه در شکل J-L و K نشان داده شده است. هر دو نوع فشردگی مکانیکی و شیمیایی باعث کاهش تخلخل و تراویی در بازه مورد مطالعه مخصوصاً در گرین استون های دولومیتی شده گردیده است. شکستگی ها در هر دو مقیاس میکرو و ماکرو در مخزن دیده می شوند. آنها اکثراً همراه با فشردگی و استیلویلتی شدن رخساره های گل غالب (مادستون، وکستون) می باشند (شکل L-5). شکستگی در رخساره های دولومیتی شده به خوبی گسترش یافته است. شکستگی در بعضی از مقاطع نازک معمولاً آخرین فرایند دیاژنسی می باشد و استیلویلت ها را قطع کرده است.

## مدل دولومیتی شدن سازند عرب

فرایند دولومیتی شدن در سازند عرب رابطه نزدیکی با رسوب گذاری کربنات های اولیه دارد. مطالعات متعددی در خصوص منشأ دولومیت های سازند عرب در پلیت عربی صورت گرفته است و تغییرات قابل ملاحظه در نوع و مقدار دولومیتی شدن از سمت جنوب (قطر و امارات متحده عربی) به سمت بخش های شمالی پلیت عربی (جنوب ایران) مشخص شده است (Wood and Wolfe, 1969; Azer and Peebles, 1998; Alsharhan and Whittle, 1995; Al-Saad and Sadooni, 2001; Morad et al., 2012; Daraei et al., 2014) بر اساس این نتایج، بخش های عمیق تر حوضه درون شلفی ربع الخالی عمدتاً دارای دولومیت های مدل نشتی-بازگشتی است در حالی که در بخش های پری تایdal (بخش شمالی)، دولومیت های نوع سابخا فراوان تر هستند. ایجاد شورابه های فوق اشباع به واسطه تبخیر در پهنه های سوپراتایdal، موجب رسوب گذاری ایندریت و بالارفتن نسبت Mg/Ca در شورابه های باقی مانده می شود و حرکت جانبی و قائم این شورابه ها، سبب



شکل ۷. مدل شماتیکی از دولومیتی شدن تبخیری، سیمانی شدن و تکامل تخلخل-تراوایی در رمپ کربناته-تبخیری سازند عرب در میدان مورد مطالعه

## کیفیت مخزنی

(میانگین ۵/۲ درصد) و تراوایی ۰/۰۱ تا ۸۰ میلی دارسی (میانگین ۱۸ میلی دارسی به دلیل وجود شکستگی) است. نمودار تخلخل-تراوایی در گروه پتروفیزیکی فابریک سنگی (Lucia, 2007)، خواص پتروفیزیکی را به صورت جداگانه با کیفیت مخزنی پایین نسبت به سایر میکروفاسیس‌ها نشان می‌دهد (شکل ۸). نمودار فشار مویینه (Pc) در برابر آب اشباع شدگی (Sw) برای این میکروفاسیس، بیانگر نبود خطوط صاف و شبیدار بودن منحنی می‌باشد (شکل ۸-۹). این خصوصیات به همراه مقادیر متوسط تخلخل و تراوایی بیانگر کیفیت مخزنی ضعیف در مقایسه با سایر میکروفاسیس‌ها است.

### دولومیت متبلور (MF2)

این میکروفاسیس دارای کیفیت مخزنی خوب با محدوده تخلخل ۳/۳۹ تا ۲۹/۶۵ درصد (میانگین ۱۸/۸۸ درصد) و تراوایی ۰/۰۲ تا ۸۷۲ میلی دارسی (میانگین ۱۰۶/۳۶ میلی دارسی) است. نمودار تخلخل-تراوایی خصوصیات پتروفیزیکی متغیری را در اندازه‌های بلوری مختلف نشان می‌دهد (شکل ۸). نمودار فشار مویینه (Pc) در برابر آب اشباع شدگی (Sw) دارای محدوده گسترده‌ای بوده که بیانگر شعاع‌های گلوگاهی منفذی متفاوت می‌باشد (شکل ۹-۸). این میکروفاسیس عمدتاً در بخش‌های بالایی سازند عرب گسترش پیدا کرده است و در مواردی نیز در بخش بالایی سازند عرب پایینی گسترش دارد.

تخلخل یا فضاهای خالی، کنترل‌کننده ظرفیت ذخیره سنگ مخزن می‌باشد و از طرف دیگر قطر گلوگاه‌های تخلخل و جورشیدگی آنها کنترل‌کننده تراوایی یا قابلیت عبور سیالات از داخل سنگ مخزن می‌باشد. نوع تخلخل، قطر گلوگاه‌های اتصال‌دهنده تخلخل به همدیگر و میزان جورشیدگی آنها را با استفاده از تست‌های فشار مؤئینگی تریق جیوه اندازه‌گیری می‌کنند. هر چه قطر گلوگاه‌های تخلخل بزرگ‌تر و جورشده‌تر باشند، فشار کمتری برای اشباع سنگ لازم می‌باشد. بنابراین منحنی فشار در مقابل اشباع شدگی کم ارتفاع‌تر و مسطح‌تر می‌باشد. از طرف دیگر هر چه قطر گلوگاه‌های تخلخل کوچک‌تر بوده و از جورشیدگی کمتری برخوردار باشد، نمودار فشار در مقابل اشباع شدگی این منحنی‌ها مرتفع‌تر و از شبیه بالاتری برخوردار است. در سنگ‌های کربناته قطر گلوگاه‌های تخلخل و جورشیدگی آنها به رخساره‌های رسوبی و فرایندهای ثانویه دیاژنزی وابسته می‌باشند. نقش فرایندهای دیاژنزی بر کیفیت مخزنی در بخش دیاژنز مورد اشاره قرار گرفت. در ادامه کیفیت مخزنی هر یک از رخساره‌های معرفی شده به عنوان اجزاء تشکل دهنده توالی مورد مطالعه با استفاده از داده‌های تخلخل تراوایی حاصل از اندازه‌گیری‌های مغزه و داده‌های تریق جیوه مورد بررسی قرار خواهد گرفت.

### میکروفاسیس انیدریت (MF1)

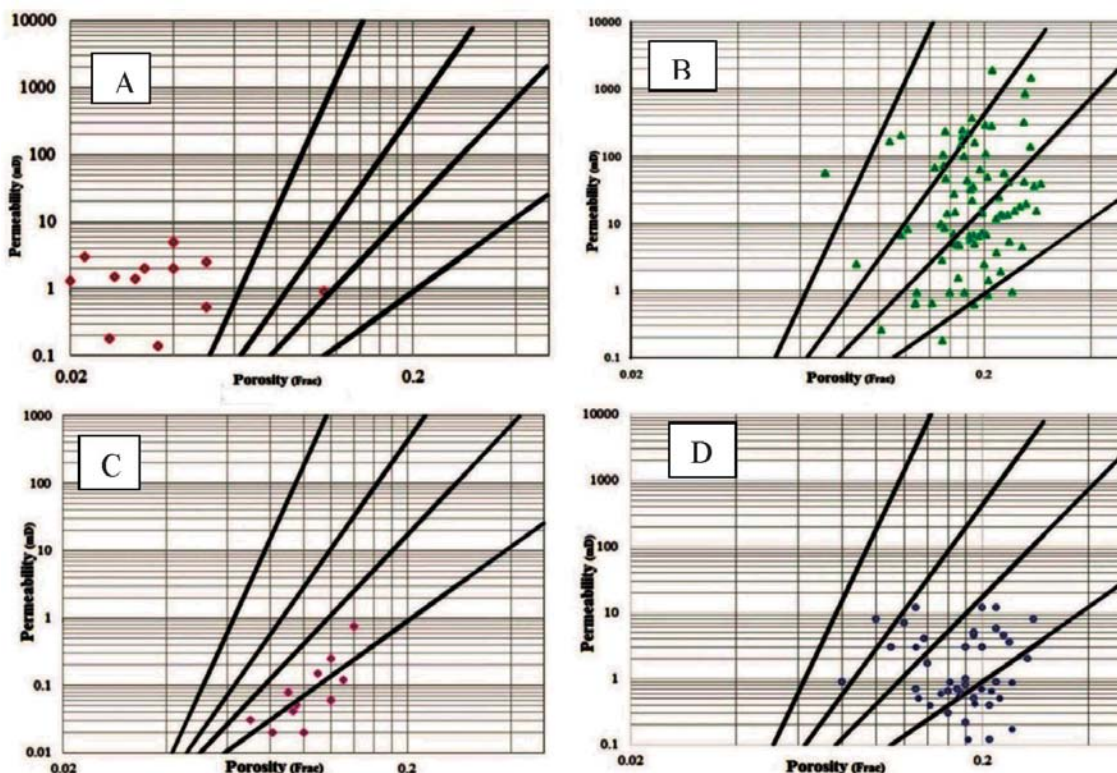
این میکروفاسیس دارای تخلخل صفر تا ۱۴ درصد

#### بایندستون جلبکی (MF5)

تخلخل بالا و تراوایی نسبتاً پایین و پرگی اصلی این میکروفاسیس است (شکل A-۱۰). نمودار فشار مویینه در برابر آب اشباع شدگی همانند میکروفاسیس قبلی (MF4) (شکل A-۱۱) است. تخلخل عمدتاً از نوع روزنه‌ای و رشدی می‌باشد (شکل C-۹). زیر محیط‌های لاغون تا اینترتایال به عنوان محیط است. زیر محیط‌های لاغون تا اینترتایال به عنوان محیط نسبتاً عمیق بخش بالایی سازند عرب، محدوده گسترش این رخساره در نظر گرفته شده است. این میکروفاسیس در بخش پایینی سازند عرب گسترش چندانی ندارد.

#### وكستون پلوویدی (MF6)

در این میکروفاسیس، دامنه تخلخل از ۴/۳ تا ۴/۱۰ درصد (میانگین ۳/۱۸ درصد) و تراوایی از ۰/۱۱ تا ۰/۱۹۰۰ میلی دارسی (میانگین ۵/۹۹ میلی دارسی) می‌باشد. نمودار تخلخل-تراوایی کلاس‌های ۲ و ۳ فابریک سنگی پتروفیزیکی لوسیا را در این میکروفاسیس نشان می‌دهد (شکل B-۱۰). سطح پهن نمودارهای فشار مویینه در برابر آب اشباع شدگی نشان می‌دهد که نمونه‌ها دارای شعاع گلوگاه منفذی بزرگتری می‌باشند



(D) MF4, (C) MF3, (B) MF2, (A) MF1 نمودارهای تخلخل-تراوایی در میکروفاسیس‌های

#### مادستون دارای انیدریت (MF3)

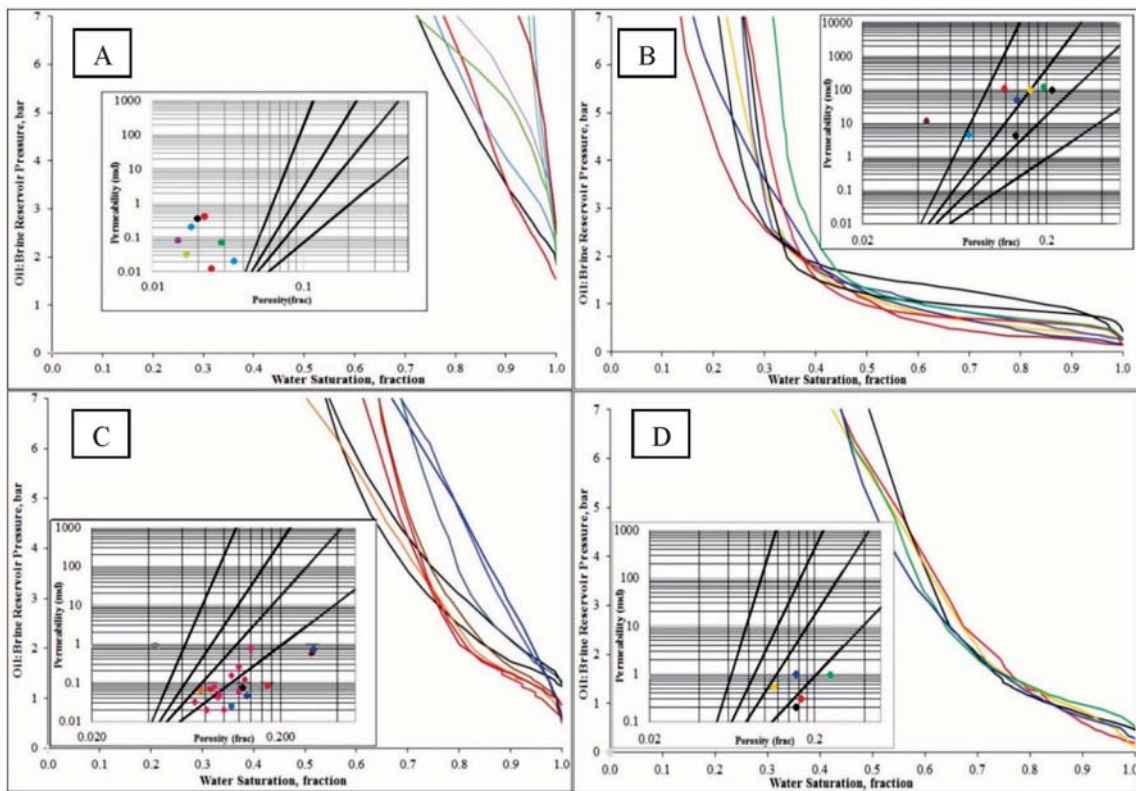
مقادیر پایین تخلخل و تراوایی همراه با نبود سطح مسطح مشخص و فشار جابجایی بالا در منحنی MICP نشان‌دهنده کیفیت مخزنی پایین در این میکروفاسیس می‌باشد (اشکال C-۸ و C-۹). در بخش‌های بالایی سازند عرب، این میکروفاسیس در بخش‌های میانی هر سه زون عرب A، B و C دیده می‌شود ولی در بخش‌های پایینی سازند عرب (D) به صورت یک پهنه کم‌عمق گسترش یافته است.

#### مادستون استروماتولیتی (MF4)

در این میکروفاسیس، دامنه تخلخل از ۰/۰۸ تا ۰/۲۸ درصد (میانگین ۱۸ درصد) و میزان تراوایی از ۰/۱۲ تا ۰/۱۶ میلی دارسی (میانگین ۶/۲ میلی دارسی) تغییر می‌کند. تغییرات فشار مویینه در برابر آب اشباع شدگی (شکل D-۸) به همراه تراوایی متوسط و پارامترهای پتروفیزیکی دیگر بیانگر کیفیت مخزنی پایین در این میکروفاسیس هستند. تخلخل عمدتاً به صورت روزنه‌ای (فنسترا) و تا حدی حفره‌ای می‌باشد (شکل D-۹).

از تخلخل‌های قالبی و حفره‌ای هستند. این میکروfasیس در بخش‌های میانی بخش D سازند عرب گسترش دارد.

و سیستم گلواگاه منفذی نامنظم دارند (شکل 11-B). انواع اصلی تخلخل شامل تخلخل بین‌بلوری، بین‌ذره‌ای و بعضی



شکل ۹. نمودارهای فشار مویینه در برابر آب اشباع‌شده‌ی در میکروfasیس‌های (A)، (B)، (C) MF3، (D) MF4، (E) MF2، (F) MF1

درون‌ذره‌ای و قالبی است. این میکروfasیس دومین واحد عمیق در توالی D سازند عرب می‌باشد.

#### گرینستون آبی‌یدی (MF9)

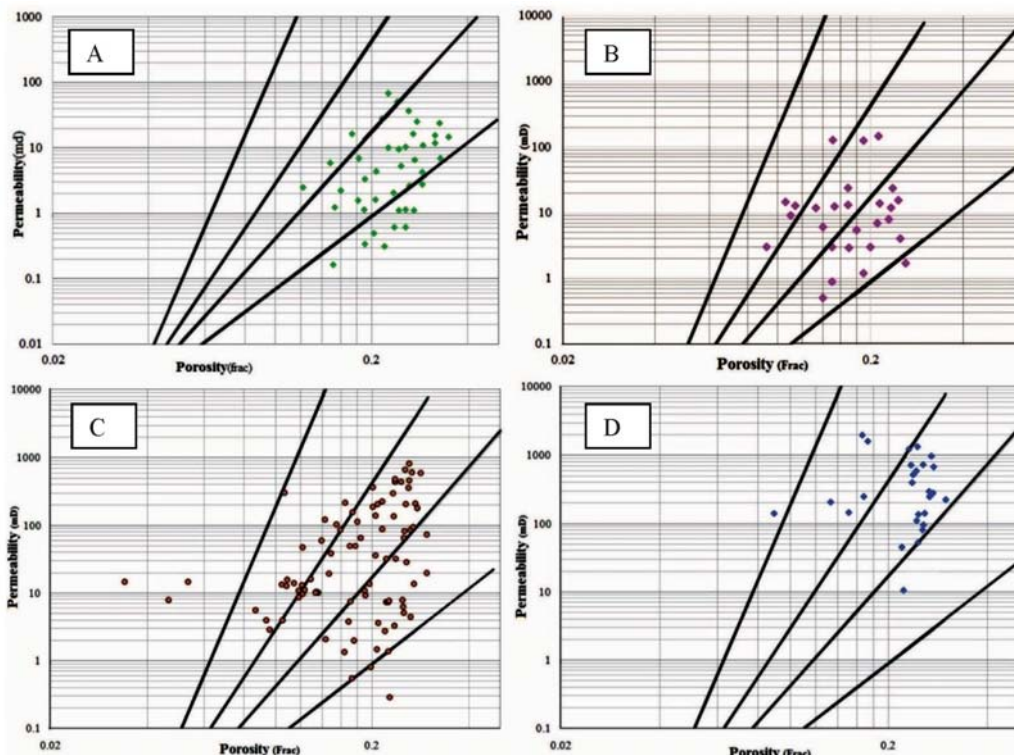
با توجه به مقادیر تخلخل و تراوایی، بهترین کیفیت مخزنی مربوط به این میکروfasیس می‌باشد. دامنه تخلخل از ۲۲/۴۴ تا ۲۷/۷۲ درصد (میانگین ۲۵ درصد) و تراوایی از ۴/۱۸ تا ۱۸۴۰ میلی دارسی (میانگین ۴۲۵/۷۵ میلی دارسی) متغیر هستند. فشار جابجایی پایین در منحنی فشار مویینه در برابر آب اشباع‌شده‌ی نشان‌دهنده سیستم گلواگاه منفذی بزرگ و به هم مرتبط است (شکل ۱۲). تخلخل بین‌ذره‌ای، بخش اصلی تخلخل در این میکروfasیس می‌باشد. با وجود این، بعضی از تخلخل‌های درون‌ذره‌ای و قالبی نیز وجود دارند که باعث افزایش تخلخل کل شده ولی تأثیری روی افزایش تراوایی ندارند. این خصوصیات معرف

دولوکستون بایوکلاستی (MF7) خصوصیات مخزنی این میکروfasیس همانند میکروfasیس قبلی (MF6) است (اشکال C-۱۰ و C-۱۱) و گسترش آن در بخش D سازند عرب بسیار شبیه به این میکروfasیس (MF6) بوده اما در بازه عمیق‌تر قرار دارد.

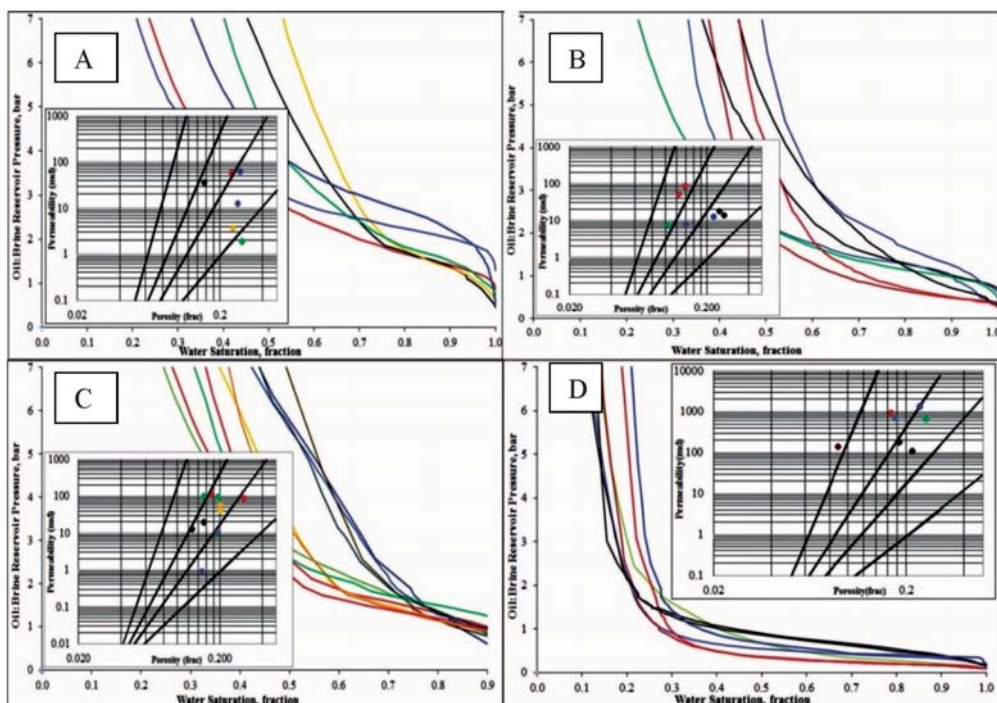
پکستون تا گرینستون بایوکلاستی (MF8) میزان تخلخل در این میکروfasیس از ۱۳/۲۲ تا ۲۹/۸۷ درصد (میانگین ۲۳/۱۹ میلی دارسی) و تراوایی از ۴/۷۷ تا ۱۳۴۲ میلی دارسی (میانگین ۲۹۳/۱۶ میلی دارسی) می‌باشد. نمونه‌های این میکروfasیس در محدوده ۵۰ گروه پتروفیزیکی لوسیا قرار گرفته‌اند (شکل ۱۰-D). نمودار فشار مویینه در برابر آب اشباع‌شده‌ی بیانگر توزیع نسبتاً همگن گلواگاه‌های منفذی هستند (شکل ۱۱-D). انواع اصلی تخلخل در این میکروfasیس شامل تخلخل بین‌ذره‌ای،

(MF8)، این میکروفاسیس فقط در بخش D سازند عرب مشاهده شده است.

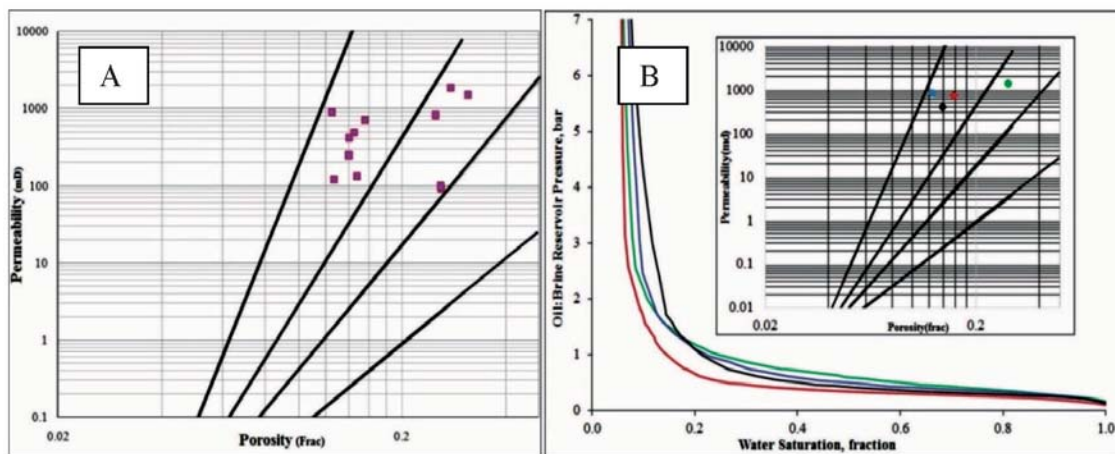
رد ۲ گروه پتروفیزیکی لوسیا هستند (شکل ۱۲). همانند دیگر میکروفاسیس‌های محیط عمیق MF6، MF7 و



شکل ۱۰. نمودارهای تخلخل-تراوایی در میکروفاسیس‌های (D) MF8 ،(C) MF7 ،(B) MF6 ،(A) MF5



شکل ۱۱. نمودارهای فشار موبینه در برابر آب اشباع شدگی در میکروفاسیس‌های (D) 8FM ،(C) 7FM ،(B) 6FM ،(A) 5FM



شکل ۱۱. نمودارهای فشار مویینه در برابر آب اشباع شدگی (B) و تخلخل-تروابی (A) در میکروفاسیس MF9

## نتیجه‌گیری

این کمریندهای رخسارهای به مقدار کمتر در بخش بالایی سازند عرب نیز مشاهده شده‌اند. به دلیل فراوانی بیشتر میکروفاسیس‌های شول، شول پشتی و لاغون، بخش پایینی در مقایسه با بخش بالایی از کیفیت مخزنی بهتری برخوردار است.

## منابع

- Al Silwadi, M.S., Kirkham, A., Simmons, M.D., Twombly, B.N., 1996. New insights into regional correlation and sedimentology, Arab Formation (Upper Jurassic), offshore Abu Dhabi. *GeoArabia*, 1 (1), 6-27.
- Al-Awwad, S. F. and Collins, L. B., 2013. Arabian carbonate reservoirs: A depositional model of the Arab-D reservoir in Khurais field, Saudi Arabia. *AAPG Bulletin*, 97, 1099-1119.
- Al-Husseini, M. I., 1997. Jurassic sequence stratigraphy of the western and southern Arabian Gulf. *GeoArabia* 2 (4), 361-382.
- Al-Husseini, M.I. 2000. Origin of the Arabian Plate Structures: Amar Collision and Najd Rift. *GeoArabia*, 5(4), 527-542
- Al-Saad, H. and Sadooni, F. N., 2001. A new depositional model and sequence stratigraph-

بر اساس مطالعات پتروگرافی حاصل از مقاطع نازک نه میکروفاسیس برای توالی عرب در میدان سلمان معرفی شد که در محدوده محیطی رمپ داخلی یک رمپ کربناته کم شیب از سوپرتایdal تا شول گسترش دارند. فرایندهای دیاژنزی نقش دوگانه‌ای بر کیفیت مخزنی توالی مورد مطالعه دارند. انیدریتی شدن، فشردگی، دولومیتی شدن بیش از اندازه تاثیر مخرب بر کیفیت مخزنی شده‌اند حال آنکه سیمانی شدن اولیه، انحلال، دولومیتی شدن و شکستگی نقش مثبتی بر روی کیفیت مخزنی داشته‌اند.

به طور کلی، تلفیق نتایج نشان می‌دهد که شرایط رسوب‌گذاری و تغییرات نسی سطح آب دریا، کیفیت مخزنی و دولومیتی شدن در بخش‌های پایینی و بالایی سازند عرب را کنترل کرده است. بر اساس نتایج حاصل از پتروگرافی و فراوانی میکروفاسیس‌های موجود، محیط رسوب‌گذاری بخش پایینی سازند عرب، عمیق‌تر از بخش بالایی بوده است. تجزیه و تحلیل کیفیت مخزنی میکروفاسیس‌ها نشان می‌دهد که میکروفاسیس‌های زیرمحیط شول (MF9)، شول پشتی (MF8)، سابخا (MF2) و بعضی از میکروفاسیس‌های لاغون (MF7 و MF6) به ترتیب بهترین کیفیت مخزنی را دارند.

میکروفاسیس‌های بخش پایینی سازند عرب در میدان مورد مطالعه شامل کمریندهای شول تا سوپرتایdal هستند.

- ic interpretation for the upper Jurassic Arab "D" reservoir in Qatar. *Journal of Petroleum Geology* 24(3), 243-264.
- Alsharhan, A. S., and Whittle, G. L., 1995. Carbonate-evaporate sequences of the late Jurassic, southern and southern western Arabian Gulf. *AAPG Bulletin*, 79, (11), 1608-1630.
  - Alsharhan, A.S. and Kendall, C.G., 1986. Precambrian to Jurassic rocks of Arabian Gulf and adjacent areas: their facies, depositional setting, and hydrocarbon habitat. *AAPG Bulletin*, 70, 977-1002
  - Azer, S. and Peebles, R.G., 1998. Sequence stratigraphy of the Arab A and C members and Hith Formation, offshore Abu Dhabi. *GeoArabia*, 3 (2), 251-268.
  - Brett, C. E., McLaughlin, P. I., and Cornell, R., 2004. High-resolution sequence stratigraphy of a mixed carbonate-siliciclastic, cratonic ramp (Upper Ordovician; Kentucky-Ohio, USA): insight into the relative influence of eustacy and tectonics through analysis of facies gradients, Palaeogeography, Palaeoclimatology, Palaeoecology, 210, 267-294.
  - Burchette, T. P. and Wright, V. P., 1992. Carbonate ramp depositional systems: Sedimentary Geology, 79(1-4) , 3-57.
  - Buxton M. W. N. and Pedley H. M., 1989. Short paper. a standardized model for Tethyan tertiary carbonate ramps. *Journal of Geological Society of London* 146(5), 746-748.
  - Cantrell, D. L., Swart, P. K., Handford, R. C., Kendall, C. G. and Westphal, H., 2001. Geology and production significance of dolomite, Arab-D Reservoir, Ghawar Field, Saudi Arabia. *GeoArabia* 6, 45-60.
  - Daraei, M., Rahimpour-Bonab, H. and Fathi, N., 2014. Factors shaping reservoir architecture in the Jurassic Arab carbonates: A case from the Persian Gulf. *Journal of Petroleum Science and Engineering*, 122, 187-207.
  - Dunham, R. J., 1962. Classification of carbonate rocks according to depositional texture. In: Ham, W. E., ed., *Classification of Carbonate Rocks: AAPG-Publ-Memoris 1*, Tulsa, Oklahoma, 108-121.
  - Flügel, E., 2004. *Microfacies of Carbonate Rocks*. Springer, Berlin, 996.
  - Handford, C.R., Cantrell, D.L. and Keith, T.H., 2002. Regional facies relationships and sequence stratigraphy of an upper-giant reservoir (Arab-D Member), Saudi Arabia. In: Proc. 22 Annual Gulf Coast Section SEPM Foundation, Bob F. Perkins Research Conference, 539-563.
  - Hughes, G. W., 1996. A new bioevent stratigraphy of late Jurassic Arab-D carbonates of Saudi Arabia. *GeoArabia*, 1 (3), 417-434.
  - Le Nindre, Y. M., Manivit, J., Manivit, H., Vaslet, D., 1990. Stratigraphie séquentielle du Jurassique et du Crétacé Arabe Saoudite. *Bulletin Society Géologie France* 6 (6), 1025-1034.
  - Lucia, F. J., 1999. *Carbonate Reservoir Characterization*. Springer, Berlin; New York (p. xii, 226 pp.).
  - Lucia, F. J., Jennings, J. W., Rahnis, M. and Meyer, F. O., 2001. Permeability and rock fabric from wire line logs, Arab-D reservoir, Ghawar field, Saudi Arabia. *GeoArabia*, 6 (4), 619-646.
  - Lucia, F.J., 1983. Petrophysical parameters estimated from visual description of carbonate rocks: a field classification of carbonate pore space. *Journal of Petroleum Technology*, 35 (3), 626-637.
  - Lucia, F.J., 2007. *Carbonate Reservoir*

- Characterization: an Integrated Approach. Springer, Berlin; New York (p. xii, 336 pp.).
- Meyer, F.O., Price, R.C., Al-Ghamdi, I.A., Al-Goba, I.M., Al-Raimi, S.M. and Cole, J.C., 1996. Sequential stratigraphy of outcropping strata equivalent to Arab-D reservoir, Wadi Nisah, Saudi Arabia. *GeoArabia*, 1(3), 435–456.
  - Meyer, F., Price, R., and Al-Raimi, S.M., 2000. Stratigraphic and petrophysical characteristics of cored Arab-D super-k intervals, Hawiyah Area, Ghawar Field, Saudi Arabia. *GeoArabia*, 5, 355–384.
  - Morad, S., AL-Aasm, I. S., Nader, F. H., Ceriani, A., Gasparrini, M. and Mansurbeg, H. 2012. Impact of diagenesis on the spatial and temporal distribution of reservoir quality in the Jurassic Arab D and C members, offshore Abu Dhabi oilfield, United Arab Emirates, *GeoArabia*, 17 (3), 17–56.
  - Murris, R. J., 1980. Middle East: stratigraphic evolution and oil habitat. *AAPG Bulletin*, 64, 597–618.
  - Powers, R.W., Ramirez, L. F., Redmond, C.D. and Elberg, E.L., 1966. Geology of the Arabian peninsula. Geological Survey Professional Paper, 560, 1–147.
  - Saller, A.H., Henderson, N., 1998. Distribution of porosity and permeability in platform dolomites-insight from the Permian of west Texas. American Association Petroleum Geologist Bulletin, 82(8), 1528–1550.
  - Sharland, P.R., Archer, R., Casey, D.M., Davies, R.B., Hall, S.H., Heward, A.P., Horbury, A.D. and Simmons, M.D., 2001. Arabian Plate Sequence Stratigraphy. *GeoArabia*, Special Publication 2. Gulf Petro Link. ISBN 9901-03-08-9.
  - Wilson, J. L., 1975. Carbonate Facies in Geological History: New York, Springer, 471.
  - Wood, G.V. and Wolfe, M.J., 1969. Sabkha cycles in the Arab/Darb Formation of the Trucial Coast of Arabia. *Sedimentology*, 12, 165–191.